

УДК 548.5

## СЕКТОРИАЛЬНОЕ РАСПРЕДЕЛЕНИЕ ГАЗОВЫХ ПУЗЫРЬКОВ В КРИСТАЛЛАХ ПАРАТЕЛЛУРИТА

**Л.В. Седова**

Тверской государственный университет,  
кафедра прикладной физики

Методами оптической микроскопии исследовано проявление анизотропии поверхностной энергии сингулярных граней кристаллов парателлурита при захвате газовых пузырьков. Установлены кристаллографические ориентации, соответствующие минимальным и максимальным концентрациям пузырьков.

Понятие секториальности, введенное в кристаллографию в 30–40-е гг. прошлого века Леммлейном, во многих случаях является чрезвычайно плодотворным при исследованиях структуры реальных кристаллов. Сам Г.Г. Леммлейн в работе [1] подчеркивал это следующим образом: «Вопросы изучения окраски кристаллов, внутренних напряжений в них, оптических аномалий и многих других проблем зачастую не могут быть расшифрованы до конца без учета секториальности строения исследуемого кристалла».

Физическая сущность явления секториальности состоит в том, что из-за анизотропии теплопроводности и вследствие различий в атомарной структуре граней с различными ориентациями формирующиеся объемы кристалла, относящиеся к пирамидам роста граней с различными индексами, в итоге отличаются (иногда – существенно) по ряду параметров. В них могут быть разными плотность дислокаций, концентрации примесей, остаточные механические напряжения и обусловленные ими оптические аномалии – свили, аномальная двуосность и другие искажения оптической индикатрисы. Секториальность в полупроводниковых кристаллах может также проявляться в различиях концентраций свободных электронов и дырок и величин удельного электросопротивления по пирамидам роста.

Что касается секториальности в распределении газовых пузырьков в кристаллах, то это достаточно редкое явление известно в основном только для кристаллов природного происхождения. Автору не удалось найти публикаций, связанных с секториальным распределением пузырьков в искусственно-выращенных из расплава кристаллах. По-видимому, кристаллы  $\alpha\text{-TeO}_2$  являются в отношении этого явления исключением, поскольку секториальное распределение в них пузырьков все же рассмотрено, хотя и не подробно, в нескольких работах [2–5]. При этом секториальность в распределении в парателлурите примесей, дислокаций и механических напряжений исследована значительно полнее [2–4; 6–9]. Между тем исследование распределения пузырьков актуально не только для решения проблемы полного устранения захвата пузырьков этими кристаллами, но и с точки зрения необходимости более ясного представления о процессах, происходящих на межфазной границе при росте кристаллов из вязких, слаботеплопроводных расплавов, содержащих растворенные газы.

**Причины секториального распределения пузырьков.** Силы, действующие в вертикальной плоскости на пузырьки, образующиеся на фронте кристаллизации парателлурита при выращивании способом Чохральского, изучены в [2]. Однако очевидно, что на секториальное распределение пузырьков, изображенное в настоящей работе на рис. 1–3, должны влиять и силы, действующие в горизонтальной плоскости.

Оценим силы, необходимые для удержания пузырька в неподвижном относительно кристалла положении. Для этого представим пузырек радиуса  $r$ , прилипший к фронту кристаллизации на расстоянии  $R$  от оси кристалла, вращающегося с циклической частотой  $\omega$ . В первом приближении будем считать, что пузырек обтекается потоком расплава со скоростью  $V = \omega \cdot R$ . В работах [2; 10; 11] показано, что, поскольку толщины скоростного пограничного слоя меньше характерных размеров захваченных пузырьков, такое приближение вполне оправдано. Тогда по формуле Стокса сила  $F$ , отрывающая пузырек от поверхности, равна

$$F = 6\pi \cdot rV\rho_{жc}v = 6\pi \cdot r\omega \cdot R\rho_{жc}v, \quad (1)$$

где  $\rho_{жc}$  – плотность расплава,  $v$  – кинетическая вязкость. Этой силе должна противодействовать сила, пропорциональная некоторому эффективному поверхностному натяжению, являющемуся в общем случае функцией трех величин:  $\sigma_{жc-г}$ ,  $\sigma_{т-г}$  и  $\sigma_{т-жc}$  – соответственно удельным поверхностным энергиям расплав–газ, кристалл–газ и кристалл–расплав. Очевидно, что эти величины должны быть не меньшими по сравнению с величиной  $\sigma$ .

Прилипший пузырек прижимается к кристаллу выталкивающей силой

$$F_{\hat{a}} = \rho_{жc} g \cdot \Omega = \frac{4}{3}\pi \cdot r^3 \rho_{жc} g, \text{ где } \Omega \text{ – объем пузырька. При этом он}$$

деформируется и соприкасается с кристаллом по окружности некоторого радиуса  $r^*$ , величина которого может быть вычислена из следующих соображений. Упругость стенки пузырька определяется лапласовым давлением  $P = 2\sigma_{жc-д}r^{-1}$  [12]. Таким образом, условие баланса сил в вертикальной плоскости имеет вид:  $PS = F_{\hat{a}}$ , где  $S = \pi(r^*)^2$  – площадь соприкосновения пузырька с кристаллом. Отсюда находим величину радиуса окружности соприкосновения

$$r^* = r^2 \sqrt{\frac{2\rho_{жc}g}{3\sigma_{жc-г}}} . \quad (2)$$

Приравняв силу поверхностного натяжения  $2\pi \cdot r^* \sigma$  силе, отрывающей пузырек, и используя соотношения (1) и (2), получаем окончательное выражение для величины эффективного поверхностного натяжения

$$\sigma = \frac{3\omega \cdot Rv}{2r} \sqrt{\frac{3\rho_{жc}\sigma_{жc-e}}{2g}} . \quad (3)$$

Типичные значения радиусов пузырьков в кристаллах парателлурита  $r = 10^{-3}$  см определены в [2–5] и подтверждены в экспериментальной части настоящей работы. Подстановка в (3) значений остальных констант и технологических параметров:  $\rho_{жc} = 5,52 \text{ см}^{-1}$ ,  $\sigma_{жc-e} = 112 \text{ дин}\cdot\text{см}^{-1}$ ,  $g = 980 \text{ см}\cdot\text{с}^{-2}$ ,  $v = 4,56 \cdot 10^{-2} \text{ см}^{-2}$ ,  $\omega = 1 \text{ с}^{-1}$ ,  $R = 1 \text{ см}$ , – дает значение  $\sigma = 66,4 \text{ дин}\cdot\text{см}^{-1}$ . Это очень близко к величинам  $\sigma_{жc-e} = 112,0 \text{ дин}\cdot\text{см}^{-1}$ ,  $\sigma_{жc-m} = (60–80) \text{ дин}\cdot\text{см}^{-1}$  (в зависимости от кристаллографической ориентации относительно твердой фазы),  $\sigma_{m-e} = (80–150) \text{ дин}\cdot\text{см}^{-1}$  (также в зависимости от ориентации), экспериментально полученным в работе [6]. Там же проведено их сравнение с выведенными В.М. Самсоновым теоретическими зависимостями между этими величинами, основанными на данных о структуре расплава  $\text{TeO}_2$ , о плотностях твердой и жидкой фаз  $\rho_m$ ,  $\rho_{жc}$  и о мольных энталпиях плавления и испарения.

Таким образом, итоговая формула для поверхностного натяжения, удерживающего пузырьки, дает правдоподобные численные результаты, несмотря на использование при выводе достаточно простых модельных представлений. Поскольку величина  $\sigma$  различна для различных кристаллографических ориентаций, следует ожидать проявления анизотропии в расстояниях от оси вращения на фронте роста, на которых располагаются пузырьки. Это и было подтверждено при оптических исследованиях кристаллов парателлурита, содержащих пузырьки.

**Эксперимент.** Крупногабаритный – диаметром 80 мм – монокристалл парателлурита был выращен способом Чохральского. Скорость вытягивания кристалла составляла 1,2 мм/ч, что выше, чем критическая скорость 0,6–0,8 мм/ч, при которой пузырьки всегда начинают захватываться кристаллами. Скорость вращения кристалла равнялась  $1 \text{ с}^{-1}$ . После роста и дополнительного отжига из кристалла перпендикулярно оси вытягивания [110] был вырезан прямоугольный образец высотой 10 мм со сторонами  $25 \times 25$  мм. На рис. 1–3 показаны изображения образца, полученные цифровой видеокамерой, сопряженной с металлографическим микроскопом и компьютером. Изображения получены при трех различных увеличениях. Размеры и количество пузырьков рассчитывались при обработке картин с помощью специальной компьютерной программы.

На рис. 1 область  $A$  соответствует участкам фронта, наиболее интенсивно омыаемым расплавом, для которых поверхностное натяжение недостаточно для удержания пузырьков. В области  $C$  пузырьки удерживаются поверхностным натяжением. В области  $B$  в течение всего процесса роста на фронте имеется плоский, почти зеркальный участок выхода особой сингулярной грани (110), поэтому здесь пузырьки отрываются от кристалла даже слабыми потоками расплава. Небольшой (диаметром примерно 1 мм)

приосевой участок кристалла  $D$  соответствует застойной области, в которой суммарный гидродинамический поток близок к нулю, толщина пограничного слоя велика, и пузырьки захватываются кристаллом. На рис. 2 показана уже с большим увеличением только часть образца с распределением пузырьков по пирамидам роста.

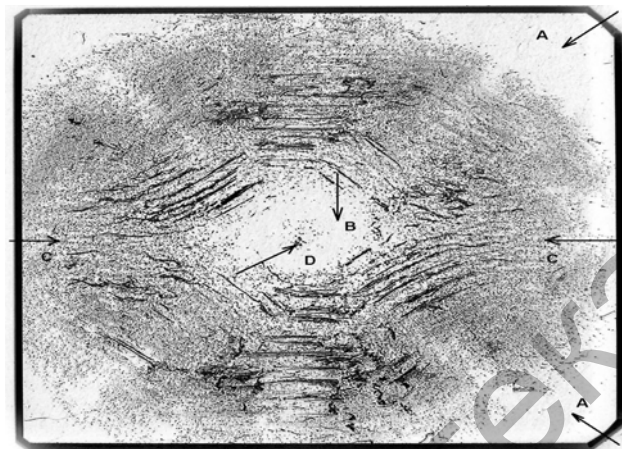


Рис. 1. Общий вид кристалла парателлурита с захваченными газовыми пузырьками.  $A$  – периферийная область кристалла без пузырьков;  $B$  – область с пониженной концентрацией пузырьков;  $C$  – область массового захвата кристаллом пузырьков с характерным секториальным распределением по пирамидам роста;  $D$  – узкая приосевая область с повышенной концентрацией пузырьков

Наиболее свободными от пузырьков являются области, соответствующие кристаллографическим ориентациям  $[1\bar{1}0]$ ,  $[101]$  и  $[111]$ . В работе [6] показано, что грани, перпендикулярные именно этим направлениям, имеют минимальные поверхностные энергии. Рис. 3 получен при максимальном увеличении. Максимум на кривой распределения пузырьков по диаметрам находится в интервале 20–30 мкм. Кроме того, в направлениях, перпендикулярных граням с указанными индексами, помимо обычных пузырьков имеются многочисленные цепочки пузырьков, система которых образует почти правильные восьмиугольники. По расстояниям между центром кристалла и сторонами восьмиугольников фактически можно судить об анизотропии эффективной поверхностной энергии. Эти расстояния изменяются в зависимости от направления в пределах 1,5–2 раз, что близко к расчетным оценкам анизотропии поверхностной энергии для граней кристаллов парателлурита, полученным в [2; 6].

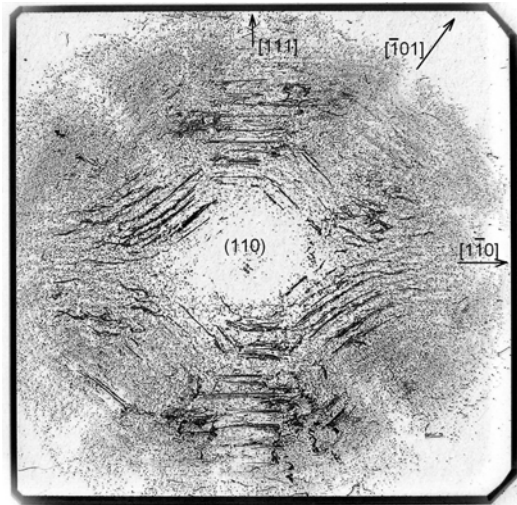


Рис. 2. Распределение пузырьков по пирамидам роста различных граней монокристалла парателлурита. Проекция в направлении [110]

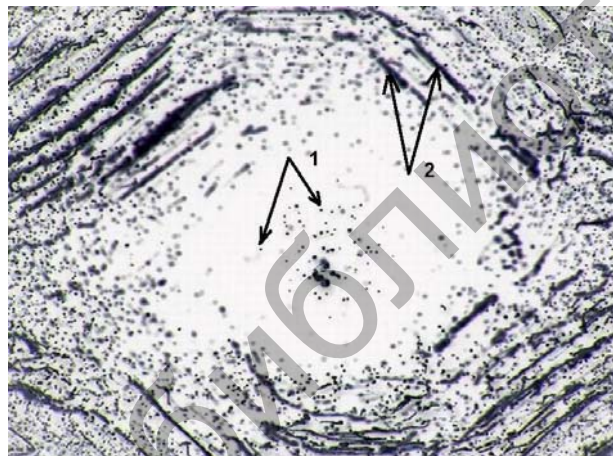


Рис. 3. Центральная часть кристалла парателлурита с секториальным распределением одиночных пузырьков и цепочек пузырьков. 1 – одиночные пузырьки диаметром 10–40 мкм, 2 – цепочки пузырьков, вытянутые в направлении, перпендикулярном грани ( $\bar{1}01$ )

**Заключение.** Экспериментально установлено, что в распределении захваченных газовых пузырьков типичных размеров (диаметром 10–40 мкм) в кристаллах парателлурита, выращиваемых из расплава способом Чохральского, наблюдается секториальность, обусловленная анизотропией поверхностного натяжения на межфазных границах кристалл–газ и кристалл–расплав. Пузырьки захватываются кристаллами в тех случаях, когда гидродинамические потоки расплава недостаточны для отрыва пузырьков от фронта кристаллизации. В пирамидах роста граней {110}, {101} и {111} с

минимальными поверхностными энергиями концентрации пузырьков также минимальны. Выведена приближенная формула для эффективного поверхностного натяжения, необходимого для удержания пузырьков на кристалле. Ее применение по отношению к пузырькам, размеры и распределение которых исследованы с помощью компьютерного анализа изображений, дает значения  $\sigma = 60\text{--}70 \text{ дин}\cdot\text{см}^{-1}$ , близкие к значениям, определенным ранее другими экспериментальными методами, а также с помощью теоретических расчетов потенциалов атомного взаимодействия Борна–Майера и Леннарда–Джонса. Обнаруженные закономерности могут быть использованы практически – при выборе скоростей вращения, обеспечивающих отрыв большинства пузырьков от кристаллов парамеллурита.

### **Список литературы**

1. Леммлейн Г.Г. Секториальное строение кристалла. М.;Л.: Изд. АН СССР, 1948.
2. Колесников А.И. Влияние условий роста на распространение дефектов в чистых и легированных монокристаллах парамеллурита: Автореф. дис. ... канд. физ.-мат. наук. Тверь, 1996.
3. Колесников А.И., Гречишкун Р.М., Терентьев И.А., Иванов А.М., Талызин И.В., Седова Л.В., Воробьева Е.Ю., Новикова С.Б. Выращивание крупногабаритных монокристаллов парамеллурита и исследование их свойств и структуры //Физика кристаллизации. Тверь: ТвГУ, 2002. С. 18–36.
4. Колесников А.И., Каплунов И.А., Терентьев И.А. Дефекты различных размерностей в крупногабаритных монокристаллах парамеллурита //Кристаллография. 2004. Т. 49, № 2. С. 229–233.
5. Иванов А.М., Седова Л.В., Талызин И.В., Токач О.И., Третьяков С.А., Леванчук А.Н. Газовые пузырьки в кристаллах парамеллурита //Вестник ТвГУ. Сер. Физика. 2004. № 4(6). С. 57–64.
6. Смирнов Ю.М., Колесников А.И. Концепция особой сингулярной грани (на примере парамеллурита) //Физика кристаллизации. Тверь: ТвГУ 1994. С. 24–28.
7. Калашников А.П. Внешняя морфология и распределение дислокаций в кристаллах парамеллурита //Докл. АН СССР. 1982. Т. 263. С. 1132–1134.
8. Калинкин В.Г., Колесников А.И., Маркин И.В. Морфология и секториальное строение монокристаллов парамеллурита //Физика кристаллизации. Калинин: КГУ, 1986. С. 97–102.
9. Виноградов А.В., Ломонов В.А., Першин Ю.А., Сизова Н.Л. Рост и некоторые свойства монокристаллов  $\text{TeO}_2$  большого диаметра //Кристаллография. 2002. Т. 47, № 6. С. 1105–1109.
10. Винокуров В.А., Люмкис Е.Д., Мартузан Б.Я. Расчет гидродинамических потоков в расплаве и распределение температуры для призрачных материалов, выращиваемых способом Чохральского //Математическое моделирование. Получение монокристаллов и полупроводниковых структур. М.: Наука, 1986. С. 76–83.
11. Татарченко В.А. Устойчивый рост кристаллов. М.: Наука, 1988. С. 240.
12. Дзюба А.С. Особенности формирования газовых включений при росте кристалла из расплава //Кристаллография. 1982. Т. 27, вып. 3. С. 551–555.